

## ЛІТЕРАТУРА

1. Александров В.М. О приближенном решении одного типа интегральных уравнений. - ПММ, 1962, т. 26, вып. 5.
2. Александров В.М. К решению некоторых контактных задач теории упругости. - ПММ, 1963, т. 27, вып. 5.
3. Бабенко В.А. Асимптотические свойства решений одного класса интегральных уравнений, возникающих в теории упругости и математической физике. - ДАН СССР, 1969, т. 186, № 6.
4. Александров В.М. Асимптотические методы в контактных задачах теории упругости. - ПММ, 1968, т. 32, вып. 5.
5. Александров В.М. Асимптотическое решение контактной задачи для тонкого упругого слоя. - ПММ, 1969, т. 33, вып. 1.
6. Koiter W. Approximate solution of Wiener-Hopf type integral equations with applications, part 1-3. "Proc. Koninkl. Ned. Akad. Wet.", 1954, Bd. 57, №. 5.

УДК 539.3

В.П.ВУШКО

ІЗОТРОПНА ПЛАСТИНКА З НЕСИМЕТРИЧНО ПІДКІРІЛЕННЯМ

ЕЛІПТИЧНИМ ОТВОРОМ

Розглянемо пружну рівновагу ізотропної пластинки товщиною  $2h$  з еліптичним отвором  $\mathcal{X}$ , край якого несиметрично підсилений пружним кільцем сталого перерізу. Площа на осі кільця змішена від серединної площини пластинки на величину  $\xi^*$  /експансіситет підсилення/. Напружене обертання становить підсилючого кільця описується рівняннями теорії тонких криволінійних стержнів. Незалежно від навантаження пластинка зазнає згинального і узагальнено плоского напружених станів.

Бважатимемо, що підсилючий стержень вільний від навантаження, а напруження та згинальні моменти у віддалених /від отвору/ частинах пластинки дорівнюють:  $b_x^\infty = p$ ;  $b_y^\infty = q$ ;  $\tilde{C}_{xy}^\infty = 2$ ;  $M_x^\infty = M_1$ ;  $M_y^\infty = M_2$ ;  $H_{xy}^\infty = M_{12}$ .

Область  $\mathcal{D}$ , яка міститься між двома конфокальними еліпсами  $\mathcal{L}_1$  і  $\mathcal{L}_2$ , причому контур  $\mathcal{L}_2$  віддалений в нескінченність, відобразимо на концентричне кільце, обмежене колами  $\gamma_1$  і  $\gamma_2$  радіусів  $r_1 = 1$  і  $r_2 = \infty$ , площини  $\zeta$  за допомогою функції

$$\zeta = \omega(\sigma) = R(\sigma + \frac{m}{\sigma}); m = \frac{a - b}{a + b}, R = \frac{a + b}{2}, \quad /1/$$

де  $a$  і  $b$  - півосі еліпса  $\mathcal{L}_1$ .

У перетвореній області /1/ країові умови нашої задачі при відсутності навантаження на кільце, згідно з формулами /5/-/12/ роботи [1] набувають вигляду ( $z_1 > z_0$ )

$$\begin{aligned} & \int_{\gamma_1} \Phi_i(\sigma) \bar{F}_i(\sigma) \omega'(\sigma) d\sigma - \int_{\gamma_1 \cup \gamma_2} \bar{\Phi}_i(\sigma) \bar{F}_i(\sigma) \omega(\sigma) d\bar{\sigma} = -\frac{g}{2h} \int_{\gamma_1} e_0 \bar{F}_i(\sigma) \frac{\sigma \omega'(\sigma)}{|\omega'(\sigma)|} d\sigma + \\ & + \frac{g}{2h} \int_{\gamma_1} [(z_1 - z_0) e_0 - i \frac{\theta_0 z_1 \sigma}{|\omega'(\sigma)|} \frac{d\theta_0}{d\sigma}] d\left[ \frac{\bar{F}_i(\sigma)}{\omega(\sigma)} \right] + \int_{\gamma_2} (N_2 + iT_2) \bar{F}_i(\sigma) \omega'(\sigma) d\sigma; \\ & \int_{\gamma_1} \Phi_i(\sigma) \bar{F}_i(\sigma) \omega'(\sigma) d\sigma - \chi \int_{\gamma_1} \Phi_i(\sigma) \bar{F}_i(\sigma) \omega'(\sigma) d\sigma - \int_{\gamma_1 \cup \gamma_2} \bar{\Phi}_i(\sigma) \bar{F}_i(\sigma) \omega(\sigma) d\bar{\sigma} = \\ & = -2\mu \int_{\gamma_1} \left[ \frac{z_0}{z_1} e_0 + i \frac{(z_1 - z_0)\sigma}{|\omega'(\sigma)|} \frac{d\theta_0}{d\sigma} + i\theta_0 - \zeta_0^* \left( \frac{i\sigma}{|\omega'(\sigma)|} \frac{d\theta_0}{d\sigma} - \frac{1}{z_1} \theta_0 \right) \right] \bar{F}_i(\sigma) \omega'(\sigma) d\sigma + \\ & + \int_{\gamma_2} (N_2 + iT_2) \bar{F}_i(\sigma) \omega'(\sigma) d\sigma; \\ & (1 + \chi) \int_{\gamma_1} \Phi_i(\sigma) \bar{F}_i(\sigma) \omega'(\sigma) d\sigma - 2\mu \int_{\gamma_1} \left[ \frac{z_0}{z_1} e_0 + i \frac{(z_1 - z_0)\sigma}{|\omega'(\sigma)|} \frac{d\theta_0}{d\sigma} + i\theta_0 - \right. \\ & \left. - \zeta_0^* \left( \frac{i\sigma}{|\omega'(\sigma)|} \frac{d\theta_0}{d\sigma} - \frac{1}{z_1} \theta_0 \right) \right] \bar{F}_i(\sigma) \omega'(\sigma) d\sigma - \frac{g}{2h} \int_{\gamma_1} e_0 \bar{F}_i(\sigma) \frac{\sigma \omega'(\sigma)}{|\omega'(\sigma)|} d\sigma + \\ & + \frac{g}{2h} \int_{\gamma_1} [(z_0 - z_1) e_0 + i \frac{\theta_0 z_1 \sigma}{|\omega'(\sigma)|} \frac{d\theta_0}{d\sigma}] d\left[ \frac{\bar{F}_i(\sigma) \sigma^2}{\omega'(\sigma)} \right]; \\ & \int_{\gamma_1 \cup \gamma_2} \bar{\Psi}_i(\sigma) F_i(\sigma) \bar{\omega}'(\sigma) d\bar{\sigma} = (1 + \chi) \int_{\gamma_1} \Phi_i(\sigma) F_i(\sigma) \omega'(\sigma) d\sigma + \int_{\gamma_1 \cup \gamma_2} \bar{\Phi}_i(\sigma) \bar{F}_i(\sigma) \omega(\sigma) d\bar{\sigma} - \end{aligned}$$

$$-2\mu \int_{\tilde{\gamma}} \left[ \frac{z_0}{2} e_0 + i \frac{(z_1 - z_0)\sigma}{|\omega'(\sigma)|} \frac{d\theta_\sigma}{d\sigma} + i\theta_\sigma - \zeta_0^* \sqrt{\frac{i\sigma}{|\omega'(\sigma)|}} \frac{d\theta_\sigma}{d\sigma} - \frac{1}{2} \theta_2 \right] F_1(\sigma) \omega'(\sigma) d\sigma +$$

$$+ \int_{\tilde{\gamma}_2} (N_2 + i T_2) F_1(\sigma) \omega'(\sigma) d\sigma;$$

$$\mathcal{H}^* \int_{\tilde{\gamma}_1} \Phi_1^*(\sigma) \overline{F_1(\sigma)} \omega'(\sigma) d\sigma - \int_{\tilde{\gamma}_1 + \tilde{\gamma}_2} \overline{\Phi_1^*(\sigma) F_1(\sigma)} \omega(\sigma) d\sigma = \mathcal{D}^* \int_{\tilde{\gamma}_2} \overline{J_2(\sigma) F_1(\sigma)} \omega'(\sigma) d\sigma +$$

$$+ \mathcal{D}^* \int_{\tilde{\gamma}_2} \left[ \frac{C}{\omega(\sigma)} \frac{d\theta_\sigma}{d\sigma} - i \frac{A}{\omega(\sigma)} \frac{d\theta_\sigma}{d\sigma} + \frac{i\sigma \omega'(\sigma)}{2, |\omega'(\sigma)|} (C\theta_n + i A\theta_C) \right] \overline{F_1(\sigma)} d\sigma +$$

$$+ \zeta_0^* g \mathcal{D}^* \left\{ \int_{\tilde{\gamma}_1} [(z_0 - z_1)e_0 + i \frac{h_0 z_1 \sigma}{|\omega'(\sigma)|} \frac{d\theta_\sigma}{d\sigma}] d \left[ \frac{\overline{F_1(\sigma)}}{\omega'(\sigma)} \right] + \int_{\tilde{\gamma}_1} e_0 \overline{F_1(\sigma)} \frac{\sigma \omega'(\sigma)}{|\omega'(\sigma)|} d\sigma \right\};$$

$$\mathcal{H}^* \int_{\tilde{\gamma}_1} \Phi_1^*(\sigma) \overline{F_1(\sigma)} \omega'(\sigma) d\sigma + \int_{\tilde{\gamma}_1} \Phi_1^*(\sigma) \overline{F_1(\sigma)} \omega(\sigma) d\sigma - \int_{\tilde{\gamma}_1 + \tilde{\gamma}_2} \overline{\Phi_1^*(\sigma) F_1(\sigma)} \omega(\sigma) d\sigma =$$

$$= \mathcal{D}^* \int_{\tilde{\gamma}_2} J_2(\sigma) \overline{F_1(\sigma)} \omega'(\sigma) d\sigma + \int_{\tilde{\gamma}_2} \frac{\sigma \omega'(\sigma)}{|\omega'(\sigma)|} [\theta_C - i(\frac{z_0}{2} \theta_n - i \frac{(z_1 - z_0)\sigma}{|\omega'(\sigma)|} \frac{d\theta_C}{d\sigma})] \overline{F_1(\sigma)} d\sigma;$$

$$(\mathcal{H}^* - 1) \int_{\tilde{\gamma}_1} \Phi_1^*(\sigma) \overline{F_1(\sigma)} \omega'(\sigma) d\sigma = - \int_{\tilde{\gamma}_1} \frac{\sigma \omega'(\sigma)}{|\omega'(\sigma)|} [\theta_C - i(\frac{z_0}{2} \theta_n - i \frac{(z_1 - z_0)\sigma}{|\omega'(\sigma)|} \frac{d\theta_C}{d\sigma})] \overline{F_1(\sigma)} d\sigma +$$

$$+ \mathcal{D}^* \int_{\tilde{\gamma}_2} \left[ \frac{C}{\omega(\sigma)} \frac{d\theta_\sigma}{d\sigma} - i \frac{A}{\omega(\sigma)} \frac{d\theta_\sigma}{d\sigma} + \frac{i\sigma \omega'(\sigma)}{2, |\omega'(\sigma)|} (C\theta_n + i A\theta_C) \right] \overline{F_1(\sigma)} d\sigma -$$

$$- \zeta_0^* g \mathcal{D} \left\{ \int_{\tilde{\gamma}_1} [(z_0 - z_1)e_0 + i \frac{h_0 z_1 \sigma}{|\omega'(\sigma)|} \frac{d\theta_\sigma}{d\sigma}] d \left[ \frac{\overline{F_1(\sigma)}}{\omega'(\sigma)} \right] - \int_{\tilde{\gamma}_1} e_0 \overline{F_1(\sigma)} \frac{\sigma \omega'(\sigma)}{|\omega'(\sigma)|} d\sigma \right\}$$

$$\int_{\tilde{\gamma}_1 + \tilde{\gamma}_2} \overline{\psi_1^*(\sigma) F_1(\sigma)} \overline{\omega'(\sigma)} d\sigma = (1 - \mathcal{H}^*) \int_{\tilde{\gamma}_1} \overline{\Phi_1^*(\sigma) F_1(\sigma)} \omega'(\sigma) d\sigma + \int_{\tilde{\gamma}_1 + \tilde{\gamma}_2} \overline{\Phi_1^*(\sigma) F_1(\sigma)} \omega(\sigma) d\sigma +$$

$$+ \mathcal{D}^* \int_{\tilde{\gamma}_2} J_2(\sigma) \overline{F_1(\sigma)} \omega'(\sigma) d\sigma + \int_{\tilde{\gamma}_2} \frac{\sigma \omega'(\sigma)}{|\omega'(\sigma)|} [\theta_C - i(\frac{z_0}{2} \theta_n - i \frac{(z_1 - z_0)\sigma}{|\omega'(\sigma)|} \frac{d\theta_C}{d\sigma})] \overline{F_1(\sigma)} d\sigma,$$

де  $\tilde{\sigma}$  - афікс точки контура  $\tilde{\gamma} = \gamma_1 + j\tilde{z}$ ;  $F_1(\zeta)$  - довільна функція, голоморфна в перетвореній області

$$N_2 + i T_2 = \frac{G_x^{*\infty} + G_y^{*\infty}}{2} - \frac{G_y^{*\infty} - G_x^{*\infty} - 2i C_{xy}^{*\infty}}{2} \frac{P^2 \overline{\omega'(\sigma)}}{\tilde{\sigma}^2 \omega'(\sigma)};$$

$$J_2(\sigma) = \frac{M_x^{\infty} + M_y^{\infty}}{2} - \frac{M_y^{\infty} - M_x^{\infty} - 2iH_{xy}}{2} \cdot \frac{\rho_2^2 \bar{\omega}'(\sigma)}{\sigma^2 \bar{\omega}'(\sigma)}.$$

Комплексні потенціали  $\Phi_i(\zeta) = \Phi[\omega(\zeta)]$ ,  $\Phi_i^*(\zeta) = \Phi^*[\omega(\zeta)]$ ,  
 $\Psi_i(\zeta) = \Psi[\omega(\zeta)]$ ,  $\Psi_i^*(\zeta) = \Psi^*[\omega(\zeta)]$  і довільна функція  
 $F_i(\zeta) = F[\omega(\zeta)]$  зовні кола  $\gamma_1$  допускають розклади:

$$\begin{aligned}\Phi_i(\zeta) &= \sum_{k=0}^{\infty} B_k \zeta^{-k}; \quad \Phi_i^*(\zeta) = \sum_{k=0}^{\infty} B_k^* \zeta^{-k}; \quad \Psi_i(\zeta) = \sum_{k=0}^{\infty} A_k \zeta^{-k}; \\ \Psi_i^*(\zeta) &= \sum_{k=0}^{\infty} A_k^* \zeta^{-k}; \quad F_i(\zeta) = \sum_{n=0}^{\infty} E_n \zeta^{-n}, \quad \text{причому } B_0 = \frac{G_x^{\infty} + G_y^{\infty}}{4}; \\ A_0 &= \frac{G_y^{\infty} - G_x^{\infty} + 2iG_{xy}}{2}; \quad B_0^* = -\frac{M_x^{\infty} + M_y^{\infty}}{4D(1+\nu)}; \quad A_0^* = \frac{M_y^{\infty} - M_x^{\infty} + 2iH_{xy}}{2D(1-\nu)}; \\ B_1 &= B_1^* = A_1 = A_1^* = 0.\end{aligned}$$

Величини  $\theta_0, \theta_B, \theta_h$  і  $\theta_C$ , що описують деформацію стержня, подамо на  $\gamma_1$  у формі комплексних рядів Фур'є

$$\begin{aligned}\theta_0 &= \delta_0 + 2Re \sum_{k=1}^{\infty} d_k b^k; \quad \theta_B = \beta_0 + 2Re \sum_{k=1}^{\infty} \beta_k b^k; \quad \theta_h = f_0 + 2Re \sum_{k=1}^{\infty} f_k b^k; \\ \theta_C &= \delta_C + 2Re \sum_{k=1}^{\infty} \delta_k b^k.\end{aligned}$$

При наявності повної симетрії задачі відносно координатних осей  $XU$ , напрямлених вздовж півосій еліптичного отвору, розклади набувають вигляду

$$\theta_0 = \sum_{k=0}^{\infty} d_k (b^k + b^{-k}); \quad \theta_B = \sum_{k=0}^{\infty} \beta_k (b^k - b^{-k}); \quad \theta_h = \sum_{k=0}^{\infty} f_k (b^k - b^{-k});$$

$$\theta_C = \sum_{k=0}^{\infty} \delta_k (b^k + b^{-k}),$$

де  $d_k, i\beta_k, if_k, \delta_k$  – дійсні величини.

Внесемо розклади /11/-/12/ у граничні умови /3/-/10/ і виконаємо інтегрування. Прийнявши при цьому всі  $E_j$ , крім  $E_n$ , рівними нулю, одержимо /при  $f_2 = \infty$ / нескінченну систему лінійних алгебраїчних рівнянь відносно коефіцієнтів розкладу шуканих функцій

$$\begin{aligned}\sum_{k=0}^{\infty} (a_{kn}^i d_k + d_{kn}^i \delta_k) + \sum_{k=2}^{\infty} (\beta_{kn}^i \beta_k^* + C_{kn}^i f_k^*) + \sum_{k=2}^{\infty} (P_{kn}^i A_k + f_{kn}^i A_k + g_{kn}^i B_k + \\ + h_{kn}^i A_k^*) &= D_n^i; \quad (i = 1, 2, 4, 6, 7, 8) \quad (n = 1, 3, 5, \dots) \\ \beta_k^* &= i\beta_k, \quad f_k^* = if_k; \quad A_k, \quad B_k, \quad A_k^*, \quad \theta_k^* \text{ – дійсні числа.}\end{aligned}$$

Коефіцієнти системи /13/ можуть виглядати:

$$\begin{aligned}
 a'_{kn} &= C_0 n \left[ 4K_1 + \pi \delta K m \frac{\kappa - \eta - 1}{2} \right] ; \\
 b'_{kn} &= - \frac{1}{3} C_0 \delta^2 \pi K L_1 ; \\
 e'_{kn} &= S_1 ; \quad c'_{kn} = d'_{kn} = f'_{kn} = g'_{kn} = h'_{kn} = 0 ; \\
 \mathcal{D}'_n &= (1 + 2m B_0) \delta n_{1,1} ; \\
 a''_{kn} &= 2\mu \left\{ S_1 - m b_{k,0} \cdot \delta n_{1,1} - \frac{\delta(1-m^2)}{f'} M_1 \right\} ; \\
 b''_{kn} &= 2\mu \left[ \frac{\delta K}{f'} K_1 - S_1 \right] ; \quad C''_{kn} = - \frac{4\pi \delta K}{3} K_1 ; \\
 d''_{kn} &= \frac{4\pi \delta K}{f'} (1-m^2) M_1 ; \quad e''_{kn} = - \mathcal{H} S_1 ; \\
 f''_{kn} = g''_{kn} = h''_{kn} &= 0 ; \quad \mathcal{D}''_n = [(1-\mathcal{H})m B_0 + A_0] \delta n_{1,1} ; \\
 a'''_{kn} &= -2\mu \left[ S_3 + b_{k,0} \cdot \delta n_{1,1} - \frac{\delta}{f'} (1-m^2/M_3) - 2\mathcal{H} C_0 n \left[ \frac{2}{f'} K_3 + \frac{\delta K}{2} L_1 \right] \right] ; \\
 b'''_{kn} &= 2\mu \left[ \frac{\delta K}{f'} K_3 + S_3 \right] + \frac{C_0}{3} \delta^2 \pi K L_3 ; \\
 C'''_{kn} &= \frac{4\pi \delta K}{f'} K_3 ; \quad d'''_{kn} = - \frac{4\pi \delta K}{f'} (1-m^2/M_3) ; \\
 e'''_{kn} = f'''_{kn} = g'''_{kn} = h'''_{kn} &= 0 ; \quad \mathcal{D}'''_n = - (1 + \mathcal{H}) B_0 \delta n_{1,1} ; \\
 a''''_{kn} &= -a'''_{kn} \text{ при } E^* = 0 ; \quad b''''_{kn} = -b'''_{kn} \text{ при } E^* = 0 , \quad C''''_{kn} = -C'''_{kn} ; \\
 d''''_{kn} &= -d'''_{kn} ; \quad e''''_{kn} = n S_2 ; \quad f''''_{kn} = -S_1 ; \quad g''''_{kn} = h''''_{kn} = 0 ; \\
 \mathcal{D}''''_n &= -[(1-\mathcal{H})B_0 + m A_0] \delta n_{1,1} ; \\
 a''''''_{kn} &= -3C_0 f_1 f_2 n \left[ \frac{\delta K}{2} m \frac{\kappa - \eta - 1}{(K - \eta - 1) \Delta_0} + \frac{2}{f'} L_1 \right] ; \quad b''''''_{kn} = C_1 f_1 f_2 \frac{\delta^2 \pi K}{2f'} L_1 ; \\
 d''''''_{kn} &= -C_2 n \kappa \delta \left[ m \frac{\kappa - \eta - 1}{(K - \eta - 1) \Delta_0} - \frac{\delta}{f'(1-m^2)} N_2 \right] + C_1 \delta f^{-2} \frac{n}{1-m^2} P_1 ; \\
 C''''''_{kn} &= -C_1 f^2 \pi K \delta \left[ m \frac{\kappa - \eta - 1}{(K - \eta - 1) \Delta_0} + \frac{\delta}{f'(1-m^2)} N_1 \right] - C_2 \frac{n \beta}{1-m^2} P_2 ; \\
 e''''''_{kn} = f''''''_{kn} = g''''''_{kn} &= 0 ; \quad \mathcal{D}''''''_n = [A_0 + (1+\mathcal{H}^*)m B_0^*] \delta n_{1,1} ; \\
 a''''''''_{kn} = b''''''''_{kn} = e''''''''_{kn} = f''''''''_{kn} = h''''''''_{kn} &= 0 ; \quad C''''''''_{kn} = \frac{2n}{f'} K_2 - \frac{n \delta}{2(1-m^2)} P_2 ; \\
 d''''''''_{kn} &= -\frac{2n}{f'} K_1 - \frac{n \delta K}{2} m \frac{\kappa - \eta - 1}{(K - \eta - 1) \Delta_0} ; \quad g''''''''_{kn} = S_1 ; \quad \mathcal{D}''''''''_n = (2m B_0^* + H_0^*) \delta n_{1,1} ; \\
 C''''''''_{kn} &= 3C_1 f_1 f_2 n \left[ \frac{\delta K}{2} R_1 + \frac{2}{f'} L_1 \right] ; \quad b''''''''_{kn} = -C_1 f_1 f_2 n K \frac{\delta^2}{2f'} L_1 ;
 \end{aligned}$$

$$C_{kn}^2 = \frac{2n}{\beta} K_k - \frac{n\delta}{2(1-m)} P_4 + C_1 \delta \beta^2 n k [R_2 + \frac{\delta}{\beta(1-m)} N_2] + C_2 \beta \frac{n}{1-m} P_4;$$

$$d_{kn}^2 = -\frac{2n}{\beta} K_k - \frac{n\delta}{2} R_1 + C_2 \beta n k [R_1 - \frac{\delta}{\beta(1-m)} N_4] - C_1 \delta^2 \frac{n}{2(1-m)} P_3;$$

$$e_{kn}^2 = f_{kn}^2 = g_{kn}^2 = h_{kn}^2 = 0; D_n^2 = (1-\lambda^2) B_0^2 \delta_{n,1};$$

$$a_{kn}^2 = b_{kn}^2 = e_{kn}^2 = f_{kn}^2 = 0; C_{kn}^2 = -C_{kn}^2 \text{ при } V=-1; d_{kn}^2 = -d_{kn}^2 \text{ при } V=1;$$

$$g_{kn}^2 = n S_2; h_{kn}^2 = -S_1; D_n^2 = \left\{ \left[ \frac{2(1+\nu)}{1-\nu} + \lambda^2 - 1 \right] B_0^2 - m A_0^2 \right\} \delta_{n,1}.$$

Тут введені такі позначення:

$$K_1 = J_{k+n+1} + J_{-k+n+1} - m(J_{k+n-1} + J_{-k+n-1});$$

$$K_2 = J_{k+n+1} - J_{-k+n+1} - m(J_{k+n-1} - J_{-k+n-1});$$

$$K_3 = J_{k-n+1} + J_{-k-n+1} - m(J_{k-n-1} + J_{-k-n-1});$$

$$K_4 = J_{k-n+1} - J_{-k-n+1} - m(J_{k-n-1} - J_{-k-n-1});$$

$$L_1 = \sum_{j=0}^{\infty} m^j (2j+n+1) (J_{n+k+2j+1} + J_{-n-k+2j+1});$$

$$L_2 = \sum_{j=0}^{\infty} m^j (2j-n+1) (J_{n-k+2j+1} + J_{-n+k+2j+1});$$

$$M_1 = \sum_{j=0}^{\infty} m^j (J_{n+k+2j+1} + J_{-n+k+2j+1});$$

$$M_2 = \sum_{j=0}^{\infty} m^j (J_{k-n+2j+1} + J_{-k-n+2j+1});$$

$$N_1 = \sum_{j=0}^{\infty} m^j [j((1-m^2)+1)] (J_{n+k+2j+1} + J_{-n-k+2j+1}) + \sum_{j=1}^{\infty} m^j (J_{n+k-2j+1} + J_{-n-k-2j+1});$$

$$N_2 = \sum_{j=0}^{\infty} m^j [j((1-m^2)+1)] (J_{n+k+2j+1} - J_{-n-k+2j+1}) + \sum_{j=1}^{\infty} m^j (J_{n+k-2j+1} - J_{-n-k-2j+1});$$

$$N_3 = \sum_{j=0}^{\infty} m^j [(j(1-m^2)+1)] (J_{n+k+2j+1} + J_{-n-k+2j+1}) + \sum_{j=1}^{\infty} m^j (J_{n+k-2j+1} + J_{-n-k-2j+1});$$

$$N_4 = \sum_{j=0}^{\infty} m^j [j((1-m^2)+1)] (J_{n+k+2j+1} - J_{-n-k+2j+1}) + \sum_{j=1}^{\infty} m^j (J_{n+k-2j+1} - J_{-n-k-2j+1});$$

$$P_1 = m \frac{n+k+1}{2} + m_{(n+k+2)} \frac{n-k+1}{2} + \frac{(k-n-1)(1-m^2)+2}{2} m_{(n-n-1)} \frac{k-n-1}{2}.$$

$$P_2 = m \frac{\alpha_{k+1}}{2} - m \frac{n-k+1}{(n-k+1)2} - \frac{(k-n-1)(1-m^2)+2}{2} m \frac{\alpha_{k-1}}{(k-n-1)2};$$

$$P_3 = m \frac{-\frac{n+k+1}{2}}{(n+k+1)2} + \frac{(n-k-1)(1-m^2)+2}{2} m \frac{\alpha_{k-1}}{(n-k-1)2} + \frac{(n+k-1)(1-m^2)+2}{2} m \frac{\alpha_{k+1}}{2};$$

$$P_4 = m \frac{-\frac{n+k+1}{2}}{(n+k+1)2} + \frac{(n-k-1)(1-m^2)+2}{2} m \frac{\alpha_{k-1}}{(n-k-1)2} - \frac{(n+k-1)(1-m^2)+2}{2} m \frac{\alpha_{k+1}}{2}$$

$$R_1 = m \frac{\alpha_{k+1}}{2} - m \frac{\alpha_{k-1}}{(n-k-1)2}; J_{120}(m) = m^{1/2} \int_0^1 \frac{x^{1/2}}{\sqrt{(1-x^2)(1-m^2x^2)}} dx;$$

$$R_2 = m \frac{\alpha_{k+1}}{2} + m \frac{\alpha_{k-1}}{(n-k-1)2};$$

$$S_1 = \delta_{k,n+1} - m \delta_{k,n-1}; S_2 = \delta_{k,n-1} + m \delta_{k,n+1}; S_3 = \delta_{k,n-1} - m \delta_{k,n+1}.$$

$$C_0 = \frac{E^* \sigma}{2f}, C_1 = \frac{E^*}{E} (1/W) f; C_2 = \frac{3/W}{E} (f_1^2 - f^2)$$

Нормальні напруження в поперечній стержні знаходимо за формулами

$$\sigma = E^* \left\{ 2 \sum_{k=0}^{\infty} \alpha_k \cos k\theta - \frac{(1-m^2) \sum_{k=0}^{\infty} (\delta_{k,k} - 2\delta_{k,k}) \cos k\theta}{(1+m^2 - 2m \cos 2\theta)^{1/2}} + \right. \\ \left. + \frac{\sum_{k=2}^{\infty} k(\delta_{k,k} - 2\delta_{k,k}) \cos k\theta}{(1+m^2 - 2m \cos 2\theta)^{1/2}} \right\}.$$

Зроблені розрахунки при таких даних /пластинка мідна, кільцеватальне/.

$$E^* = 2.1 \cdot 10^6 \text{ кг/см}^2; \nu^* = 0.1 \cdot 10^5 \text{ кг/см}^2; E = 1.15 \cdot 10^6 \text{ кг/см}^2; fK = 4.42 \cdot 10^{-6} \text{ кг/см}^2; \\ y = 0.3; \beta = 0.163; \delta = \frac{f}{K} = 0.1; f^* = \frac{f^*}{K} = 3; j_1 = \frac{f}{K} = 2; f_2 = \frac{f^*}{K} = 3; \sigma_3 = -\frac{f^*}{K}.$$

Розглядається два види нагрушки пластиники

$$1) \tilde{\sigma}_x = p; \tilde{\sigma}_y = \tilde{\tau}_{xy} = \tilde{M}_x = \tilde{M}_y = \tilde{H}_{xy} = 0; 2) \tilde{\sigma}_y = p; \tilde{\sigma}_x = \tilde{\tau}_{xy} = \tilde{M}_x = \tilde{M}_y = \tilde{H}_{xy} = 0.$$

Розрахунки велися на ЕОМ "Мінськ-22". Результати обчислень показані на рис. 1, 2.

На рис. 1 зображене залежність кільцевих напружень  $\sigma/p$  в пластинці від ексцентриситету підкріплення  $\frac{f}{2K}$  при  $\theta = \frac{\pi}{2}$  /у першому випадку навантаження/ і при  $\theta = 0$  /у другому випадку навантаження/. Криві 1, 2, 3 відносяться відповідно до точок верхньої, серединної і нижньої площин пластинки. Крива 4 зображає відповідні

напруження  $\frac{\sigma}{P}$  в кільці на лінії спаю з пластинкою.

З результатів наведеного числового аналізу видно, що зміщення площини осі підсилюючого кільця від серединної площини пластинки на величину  $\xi_0^*$  суттєво змінює величину напружень порівняно з симетричним підкріплленням ( $\xi_0 = 0$ ) .

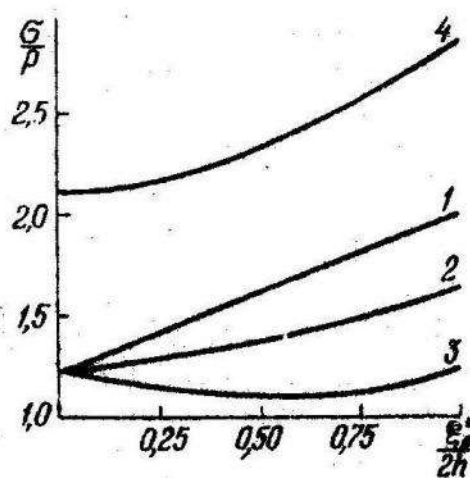


Рис. 1.

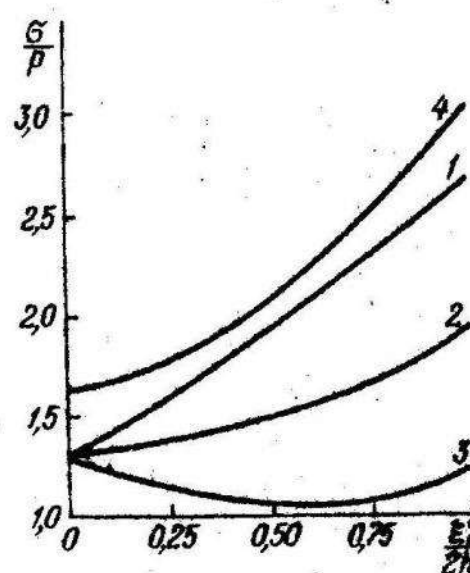


Рис. 2.

## Л И Т Е Р А Т У Р А

1. В у ш к о В.П., М а р т и н о в и ч Т.Л. Об одном эффективном методе расчета пластинок с несимметрично подкрепленным краем. -Теория оболочек и пластин. Труды VIII Всесоюзной конференции по теории оболочек и пластин. М., "Наука", 1973.
2. М а р т и н о в и ч Т.Л. К решению задач о напряженном состоянии пластинок с подкрепленным краем. - "Прикладная механика", 1970, т.4, вып. 9.
3. М а р т и н о в и ч Т.Л., В у ш к о В.П. Об одном подходе к решению задач плоской теории упругости. - "Концентрация напряжений". 1971, вып. 3.